

تحلیل انرژی و بهینه سازی سیکل رانکین در نیروگاه های بخار با استفاده از الگوریتم زنبورها

صمد الهی^۱، احسان اله عصاره^{۲*}، عباس تقی پور^۳، افشین قنبرزاده^۴، طاهره پیرهوشیاران^۴

دانشجوی کارشناسی ارشد، گروه مهندسی مکانیک، واحد دزفول، دانشگاه آزاد اسلامی، دزفول، ایران

استادیار، گروه مهندسی مکانیک، واحد دزفول، دانشگاه آزاد اسلامی، دزفول، ایران

استادیار، گروه مهندسی مکانیک، دانشگاه شهید چمران اهواز، اهواز، ایران

استادیار، گروه مهندسی شیمی، واحد دزفول، دانشگاه آزاد اسلامی، دزفول، ایران

دریافت: بهار ۹۸ پذیرش: بهار ۹۸

چکیده

در این مطالعه، آنالیز انرژی^۱ یک نیروگاه بخار تولید برق که با سیکل ترمودینامیکی رانکین^۲ کار می کند مورد بررسی قرار گرفته است. نیروگاه زرد واقع در استان کرمان یک نیروگاه بخار است که در این مطالعه مورد بررسی قرار گرفته است. بازده انرژی معیاری بسیار مناسب برای تحلیل یک سیکل ترمودینامیکی می باشد. برای بهینه کردن فرآیند و حصول بازده انرژی بالاتر، پارامترهایی به عنوان متغیرهای تصمیم گیری در نظر گرفته شده اند و با تغییر این پارامترها سعی در بالابردن بازده انرژی شده است. با آگاهی از اینکه امکان تغییر در بازه ای معین در برخی از پارامترهای پروسه تولید برق در نیروگاه وجود دارد، متغیرهای تصمیم گیری انتخاب شده اند. دما و فشار خروجی از بویلر و فشارهای خروجی از چهار مرحله زیرکش توربین، به عنوان شش متغیر تصمیم گیری انتخاب شده اند. الگوریتم بهینه سازی به کمک رفتار زنبور های عسل^۳ یکی از الگوریتم های هوشمند^۴ نسبتاً جدید در بهینه سازی مسائل بوده که با الگو گرفتن از رفتار و عمل زنبور های عسل برای یافتن غذا، فرآیند بهینه سازی را انجام می دهد. در این مطالعه ابتدا بهینه سازی تابع بازده انرژی نیروگاه بخار انجام می شود سپس با نتایج الگوریتم های بهینه سازی ژنتیک^۵ و تجمیع ذرات^۶ مقایسه می شود. نتایج این بررسی نشان می دهد که در صورت تغییر مناسب در متغیرهای تصمیم گیری و بکارگیری الگوریتم زنبورهای عسل، می توان بازده انرژی نیروگاه حرارتی مورد بررسی را از ۳۰/۱ درصد به ۳۰/۶۶۷۵ درصد رساند. این افزایش معادل ۰/۵۶۷۵ درصد برای سیکل خواهد بود که نسبت به بکارگیری الگوریتم ژنتیک ۰/۰۳۸ درصد و نسبت به بکارگیری الگوریتم تجمیع ذرات ۰/۰۳۶ درصد بهتر خواهد بود.

*عهده دار مکاتبات: assareh@iaud.ac.ir

کلمات کلیدی: بازده انرژی، الگوریتم زنبور عسل، سیکل رانکین، نیروگاه حرارتی.

Exergy analysis and optimization of Rankine cycle in steam power plants using Bees Algorithm

Abstract

In this study, the exergy analysis of a steam power plant generating electricity with Rankine thermodynamic cycle is studied. Exergy efficiency is a suitable criterion for the analysis of a thermodynamic cycle. To optimize the processes

¹ Exergy Analysis

² Rankine Cycle

³ Bees Algorithm

⁴ Intelligent Algorithm

⁵ Genetic Algorithm (GA)

⁶ Particle Swarm Optimization (PSO)

and obtaining higher exergy efficiency, some parameters were considered as decision variables, and by changing these parameters, it was tried to improve the exergy efficiency. Output temperature and pressure of the boiler, and the output pressures of the four stages of turbine extraction, were selected as six decision variables. In other words, the exergy efficiency function was considered as the objective function, and the six aforementioned variables were considered as decision variables. Optimization algorithm using the behavior of bees, which is one of the relatively new intelligent algorithms for optimization problems, performs the optimization by inspiring from the behavior and action of bees to find food. In this study, firstly, the optimization of exergy efficiency function was done for the steam power plant, and then the results were compared with the results obtained using the genetic and particle swarm optimization algorithms. Results showed that by appropriate changes in decision variables and using bees algorithm, exergy efficiency of the thermal power plant increased from 30.1% to 30.6675%. This increase was equivalent to 0.6675% for the cycle, and compared to the use of genetic and swarm particle optimization algorithms it was 0.0038% and 0.0036% higher, respectively.

Keywords: Exergy efficiency; Bees algorithm; Rankine cycle; thermal power plant

۱- مقدمه

تولید انرژی الکتریسیته در تمام دنیا با روشهای گوناگون و از منابع مختلف در حال گسترش است. تولید برق در دنیا سالانه حدود ۴/۲ درصد افزایش می یابد. پیش بینی می شود که در سال ۲۰۳۰ تولید برق در سراسر دنیا به رقم سی میلیارد و سیصد میلیون کیلووات ساعت برسد. هرچند تولید برق از منابع نو و بازگشت پذیر در حال گسترش است ولی هنوز نیز سهم عمده ای از تولید انرژی به سوخت های فسیلی اختصاص دارد. بطوریکه هنوز حدود ۶۶ درصد از انرژی تولیدی در دنیا از منابع فسیلی تامین می شود. این عدد برای انرژی های تجدید پذیر حدود ۵/۶ درصد می باشد. هم اکنون نیز حدود ۷۱/۵ درصد برق ایالات متحده از منابع و سوخت های فسیلی تامین می شود در صورتی که این عدد برای سوخت های غیر فسیلی حدود ۲/۹ درصد می باشد. در یک نیروگاه حرارتی، انرژی مکانیکی مورد نیاز برای به حرکت درآوردن مولد ها بوسیله حرارتی که معمولاً از سوختن مواد نفتی بدست می آید، تامین می شود. حدود ۸۶ درصد از نیروگاه ها از بخار برای ایجاد انرژی مکانیکی استفاده می کنند. به این نیروگاه ها نیروگاه های حرارتی^۷ گفته می شود که غالباً از سیکل رانکین برای تولید برق در آن استفاده می شود. به همین دلیل است که متخصصان همواره سعی در افزایش راندمان سیکل داشته اند.

محمودی خوشکار و همکاران [۱] تحقیقاتی را در زمینه تاثیر بازیاب حرارت بلودان بویلر روی راندمان کلی سیکل رانکین نیروگاه انجام دادند و به کمک الگوریتم های GA و PSO پارامترهای بهینه برای هر المان از چرخه را بدست آوردند. تاجیک و همکاران [۲] اختلاف بین مولد بخار بازیاب حرارت با دو سطح فشار را با همین مولد با سه سطح فشار بدست آورده و همزمان انرژی در هر مدل را محاسبه کرده و با هم مقایسه کردند. کوپری و همکاران [۳]، کارپاپلوچی و گیوردانو [۴] و نامعی و همکاران [۵] هر کدام بطور جداگانه با توابع هدف^۸ مختلف سعی در بهینه کردن پارامترهای مختلف بویلر بخار بازیاب حرارت^۹ در نیروگاه های سیکل ترکیبی^{۱۰} کردند. بید و باندیوپادهای [۶] با بکار بردن آنالیز پینچ، اضافه کردن یک تقویت کننده به توربین گازی را پیشنهاد دادند. یوروسویچ و همکاران [۷] کاهش توان یک توربین بخار در یک نیروگاه تولید همزمان (گرما و الکتریسیته) را محاسبه کردند. کان و همکاران [۸] انرژی و انرژی در یک نیروگاه تولید همزمان در ترکیه را آنالیز کردند. تانتساکونواتانا و کوپیرانوف [۹] تاثیر

کیفیت سوخت و نسبت هوا در بازدهی یک بویلر را بررسی کردند. آنها راندمان بویلر را در شرایط مختلف محاسبه کرده و مقدار تشعشع تولید شده را ارزیابی کردند. لیو و بانسال [۱۰] الگوریتم ژنتیک را با دینامیک سیالات محاسباتی در هم آمیخته و پدیده اسلگینگ در کوره را کاهش دادند و به تبع آن موفق به بالا بردن بازده احتراق شدند. راول و پاتل [۱۱] روش هایی را برای کاهش توان راه اندازی در نیروگاه ها مخصوصاً برای پمپ ها و کمپرسور ها پیشنهاد دادند. صادقی و همکاران [۲۰] یک سیکل میکروتوربین با بازیاب حرارت را به روش انرژی و انرژی تحلیل کردند. آنها در این تحلیل عواملی مانند نسبت فشار کمپرسور، نسبت بای پاس و بازدهی رکوپرتور را بررسی کردند. بافکرپور و همکاران [۲۱] آنالیز انرژی یک نیروگاه بخار را انجام داده و دو عامل تلفات و بازده انرژی که معیارهای عینی برای ارزیابی سیستم ها می باشند را برای اجزاء سیکل بخار محاسبه کردند. نصر آزادانی و احمدی دانش [۲۲] تحلیل انرژی و انرژی نیروگاه بخار پالایشگاه اصفهان را انجام داده و با استفاده از معادلات بالانس جرم، انرژی و انرژی، برای هر یک از اجزاء سیکل، بازده انرژی و بازگشت ناپذیری برای آن اجزاء را محاسبه کرده اند. لی [۱۲] مطالعاتی در مورد بازده یک سیکل رانکین ایده ال با سیال های متفاوت را انجام داده و خواص ترموفیزیکی سیال سیکل را با استفاده از معادله حالت wai-Margerum-Lu محاسبه نموده است. نتایج این بررسی ها مشخص می کند که ظرفیت حرارتی سیستم بطور مستقیم به دمای جوش در فشار اتمسفر، فشار بحرانی و وزن مولکولی سیال بستگی دارد. حبیب [۱۳] مطالعات متفاوتی انجام داده و نتیجه گرفته است که نیروگاه های سیکل ترکیبی ۲۵ درصد بازده بالاتر و ۳۵ درصد بازگشت ناپذیری کمتری نسبت به نیروگاه های سنتی دارند. تاملینسون [۱۴] اثبات می کند که با دوبرابر کردن فشار بخار در سیکل، حدود ۴ درصد راندمان افزایش می یابد ولی با تغییر فشار بخار از دو برابر تا سه برابر تنها یک درصد راندمان افزایش خواهد داشت. محمدی نائینی [۲۳] با ترکیب سیکل های مختلف ترمودینامیکی سعی در بدست آوردن یک سیکل بهینه کرده است. نتایج آن نشان می دهد که سیکل سه گانه از نوع سری تفاوت چندانی در مقایسه با سیکل ترکیبی ندارد و بازده سیکل سه گانه موازی خصوصاً در مورد بازیافت حرارت اتلافی در انتالپی های کم را می توان افزایش داد. بیگلر کونینگ [۱۵] از الگوریتم زنبورهای عسل برای بهینه سازی یک سری دیتاهای استخراج شده از نیروگاه های حرارتی

⁷ Power Plant

⁸ Objective Function

⁹ West Heat Boiler

¹⁰ Combined Cycle Power Plant

استفاده کرد. دنجار و کاسوامی [۱۶] یک آنالیز مقایسه ای بین روشهای مدرن بهینه سازی برای کاهش هزینه های تولید در نیروگاه های حرارتی انجام دادند. آنها این کار را با مقایسه نتایج بدست آمده از الگوریتم های زنبورهای عسل و الگوریتم جهش قورباغه^{۱۱} و الگوریتم IABC انجام دادند.

۲- تعریف انرژی

قانون اول ترمودینامیک بیان کننده اصل بقای انرژی می باشد. در قانون اول با اشکال مختلف انرژی سروکار داریم. تاثیرات و عکس العمل های کار و گرما در یک سیکل یا سیستم ترمودینامیکی باعث بوجود آمدن تغییرات در آن سیستم می شود. می دانیم که تاثیرات کار در تغییر حالت یک سیستم بیشتر از تاثیرات گرما در آن سیستم می باشد به همین دلیل است که قانون دوم ترمودینامیک ارزش بیشتری را برای کار در مقابل گرما قائل است. یعنی تاثیرات و عکس العمل های کار از درجه مفید بودن بیشتری نسبت به تاثیرات و عکس العمل های گرما برخوردار هستند.

$$\dot{Q}_{in} + \sum \dot{m}_{in} h_{in} = \dot{W}_{c.v.} + \sum \dot{m}_{out} h_{out} \quad (1)$$

در یک حجم کنترل سه نوع انتقال انرژی ممکن است انتقال یابد، انتقال کار، انتقال حرارت، انتقال انرژی [۱۸]. ولی برخلاف انرژی که همواره ثابت است، انرژی نابود شده و یا تحلیل می رود. بالانس انرژی در یک سیکل ترمودینامیکی بصورت زیر است:

$$\dot{E}x^Q + \sum \dot{m}_{in} ex_{in} = \dot{E}x^W + \sum \dot{m}_{out} ex_{out} + \dot{E}x^D \quad (2)$$

در این معادله $\dot{E}x^D$ انرژی نابود شده^{۱۲} و $\dot{E}x^Q$ و $\dot{E}x^W$ به ترتیب انرژی مربوط به گرما و کار می باشند. مطابق تعریف [۱۹] داریم:

$$\dot{E}x^Q = \left(1 - \frac{T_0}{T_r}\right) \dot{Q} \quad (3)$$

$$\dot{E}x^W = \dot{W}_{c.v.} \quad (4)$$

که در اینجا T_0 دمای محیط و T_r دمایی است که انتقال حرارت در آن اتفاق افتاده است. $\dot{E}x^W$ انرژی مربوط به حجم کنترل می باشد. انرژی کل تشکیل شده است از انرژی جنبشی، پتانسیلی، فیزیکی و شیمیایی:

$$ex = ex_{ke} + ex_{po} + ex_{ph} + ex_{ch} \quad (5)$$

در یک سیکل ترمودینامیکی واقعی می توان بطور کامل کار را به گرما تبدیل کرد ولی تبدیل مقداری از گرما به کار بسیار محدود و در برخی مواقع بسیار مشکل می باشد. پس هرگاه در مورد کیفیت انرژی صحبت می شود در حقیقت در مورد ظرفیت و استعداد انرژی برای تولید کار صحبت می شود [۱۷]. پس می توان گفت که در واقع کیفیت انرژی، پتانسیل، توانایی و استعداد انرژی برای تولید کار مفید می باشد. و یا به عبارت دیگر، پتانسیل کار یک مقدار معینی از انرژی به صورت ماکزیمم کار مفید ممکن تعریف می شود که می تواند از آن انرژی در محیط معینی بدست آید. محیط را به عنوان مبنای اندازه گیری پتانسیل کار در نظر می گیرند [۱۹]. در متون ترمودینامیک گاه به این عبارت بر می خوریم که گفته می شود انرژی کاهش درجه داده است. این بدان معنی است که پتانسیل یک مقدار معینی از انرژی در طول آن فرایند کاهش یافته است. پس قانون اول و دوم ترمودینامیک را می توان بصورت زیر تعریف کرد [۱۷]:

قانون اول: مقدار کل انرژی همواره ثابت است.

قانون دوم: پتانسیل تولید کار مفید همواره کاهش می یابد.

مفهوم دو قانون اول و دوم که در ترم های انرژی بیان شده اند بیانگر جمله مهم زیر است:

انرژی در طول یک سیکل ترمودینامیکی ثابت است ولی همواره کیفیت آن کاهش می یابد [۱۷].

درست است که قانون اول ترمودینامیک شامل ترم کار است ولی اثر بازگشت ناپذیری ها که همانند تولید انترپپی است در آن نیامده است. در اینجا است که قانون دوم به کمک آن می آید و تولید انترپپی را نیز محاسبه می کند. وقتی یک سیستم و محیطش (محیط در شرایط استاندارد) با هم در تعادل هستند می گویند که سیستم در تعادل مکانیکی و حرارتی قرار دارد. برای

¹² Wasted Exergy

¹¹ Shuffled Frog Leaping Algorithm

بالا درآمده و وارد توربین می شود. توربین نیروگاه زرنند از نوع زیرکش دار^{۱۴}

می توان از انرژی جنبشی و پتانسیل صرف نظر کرد [۱۹]. انرژی فیزیکی از فرمول زیر بدست می آید:

$$ex_{ph} = (h - h_0) - T_0(s - s_0) \quad (6)$$

که در اینجا T_0 دمای مطلق محیط می باشد. h آنتالپی و h_0 آنتالپی در دمای مطلق محیط می باشد. s انترپی و s_0 انترپی در دمای مطلق محیط می باشد. انرژی پتانسیل که معمولا به سوخت مصرفی ارتباط دارد از فرمول زیر محاسبه می گردد [۱۹]:

$$ex_{ch} = \sum_{i=1}^n y_i ex_i^{ch} + RT_0 \left(\sum_{i=1}^n y_i \ln(y_i) \right) \quad (7)$$

$$ex_{ch} = ex_{fuel} \quad (8)$$

$$ex_{fuel} = \xi \times LHV_{fuel} \quad (9)$$

که در اینجا ξ ضریب نرخ انرژی شیمیایی و LHV پایین ترین ارزش حرارتی سوخت می باشد. ξ برای گازهای مختلف، مقادیر مختلفی دارد [۱۹]. به عنوان مثال برای متان برابر با ۱/۰۶ و برای هیدروژن برابر با ۰/۰۹۸۵ می باشد. از معادلات ۳ تا ۹ می توان برای همه اجزاء یک سیکل ترمودینامیکی، معادله انرژی را بدست آورد. جدول ۱ رابطه انرژی تلف شده برای اجزاء مختلف نیروگاه نشان داده شده است. انرژی کلی یک نیروگاه بخار از فرمول زیر محاسبه می شود:

$$\psi = \frac{\dot{W}_{net}}{\dot{m}_{fuel} \times LHV} \quad (10)$$

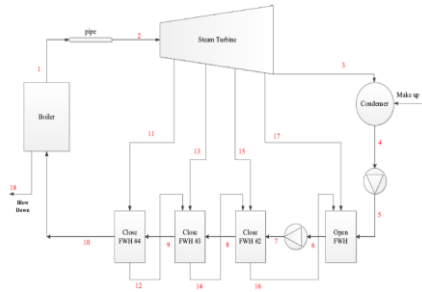
که در اینجا \dot{W}_{net} کار خالص تولید شده در نیروگاه و \dot{m}_{fuel} دبی جرمی سوخت می باشد.

جدول ۱: رابطه انرژی تلف شده برای اجزاء مختلف نیروگاه

اجزاء	رابطه انرژی
بازتاب حرارتی آب	$\dot{E}x_{FWH}^p = \sum \dot{E}x_{in} - \sum \dot{E}x_{out}$
توربین بخار	$\dot{E}x_{ST}^p = \dot{E}x_{in} - \dot{E}x_{out} - \dot{W}_{ST}$
کندانسور	$\dot{E}x_{FWH}^c = \sum \dot{E}x_{in} - \sum \dot{E}x_{out}$
پمپ	$\dot{E}x_{Pump}^p = \dot{E}x_{in} - \dot{E}x_{out} - \dot{W}_{Pump}$
بویلر	$\dot{E}x_{Boiler}^p = \sum \dot{E}x_{in} + \dot{E}x_{fuel} - \sum \dot{E}x_{out}$

۳- شرح سیستم

برای بررسی انرژی و انجام فرایند بهینه سازی، یک نیروگاه در استان کرمان با نام نیروگاه زرنند^{۱۳} انتخاب شده است. نیروگاه زرنند از نوع بخار با سیکل رانکین می باشد که از دو واحد مشابه هر کدام با ظرفیت ۳۰ مگاوات بهره می برد. فلو دیاگرام نیروگاه در شکل ۱ آورده شده است. آب ورودی به بویلر پس از عبور از لوله های داغ بویلر به صورت بخار مافوق گرم با فشار



شکل ۱: فلو دیاگرام نیروگاه زرنند

بوده و راندمانی بالغ بر ۹۳ درصد دارد. در توربین های زیرکش دار بخار از مراحل مختلف توربین خارج می شود و برای ارسال به هیترهای آب تغذیه^{۱۵} برای بهبود راندمان کلی سیستم بکار می رود. دو نوع هیتر آب تغذیه در نیروگاه زرنند وجود دارد که یکی از نوع باز و دیگری بسته می باشد. بررسی ترمودینامیکی سیکل بخار نشان می دهد که گرم کردن آب تغذیه پیش از ورود به بویلر منجر به افزایش بازده این سیکل می گردد. این گرمایش با استخراج مقدار کوچکی از بخار گذرنده از توربین در همان مبدلهای حرارتی که با نام بازتاب آب تغذیه هم شناخته می شوند انجام می شود. بالا بردن دمای آب ورودی به بویلر موجب کاهش انرژی حرارتی مورد نیاز برای تولید بخار در بویلر و همچنین کاهش میزان بازگشت ناپذیری در این فرایند می شود. از سوی دیگر به دلیل حجم مخصوص بالای بخار در انتهای توربین استخراج، بخشی از این بخار به جلوگیری از افزایش رطوبت در قسمتهای کم فشار توربین و بهبود کارایی آن کمک خواهد کرد بدین ترتیب می توان نتیجه گرفت که در یک سیکل دارای بازتاب یا هیتر، بخشی از حرارت در سیکل بازتابی شده و میزان حرارت دفع شده به محیط از طریق کندانسور کاهش و در نتیجه راندمان آن افزایش می یابد. وجود هیتر و عملکرد مناسب آن در افزایش دمای آب ورودی به بویلر و کاهش میزان سوخت مصرفی در بویلر و کاهش حجم هوای

درخواستی و در نتیجه کاهش سرعت محصولات احتراق در کوره را باعث شده و آسیب های وارده به کوره کمتر خواهد شد. هر واحد نیروگاه زرنند از چهار هیتر آب تغذیه بهره می برد. بخار آب پس از تولید نیرو در توربین در آخرین زیرکش از توربین وارد کندانسور می شود. و در آنجا تبدیل به مایع می شود. پس از آن به وسیله پمپ وارد هیترهای آب تغذیه شده و در نهایت دوباره وارد بویلر می شود.

¹⁵ Feed Water Heater

¹³ Zarand Power Plant

¹⁴ Extraction

۴- نتایج و بحث

هیتر بازیاب حرارت نوع باز منتقل شده و از آنجا به هیترهای بازیاب نوع بسته هدایت شده و دما و فشار آن قدری بالاتر می رود. پس از آن مجددا وارد بویلر شده و سیکل بسته می شود. پس در نتیجه در این مسئله شش متغیر بهینه سازی شامل فشار و دما و خروجی از بویلر و فشارهای خروجی از توربین در چهار مرحله زیرکش انتخاب شدند.

کار خالص تولید شده توسط نیروگاه از رابطه ۱۱ بدست می آید:

$$\begin{aligned} \dot{W}_{net} = & \dot{m}_2 h_2 - \dot{m}_{11} h_{11} - \dot{m}_{13} h_{13} \\ & - \dot{m}_{15} h_{15} - \dot{m}_{17} h_{17} \\ & - \dot{m}_3 h_3 \\ & - \dot{m}_4 (h_5 - h_4) \\ & - \dot{m}_6 (h_7 - h_6) \end{aligned} \quad (11)$$

با بسط رابطه ۱۱ تابع هدف بدست می آید. رابطه ۱۲ تابع هدف را نشان می دهد که به دبی جرمی سیال، آنتالپی و ارزش حرارتی سوخت مرتبط است.

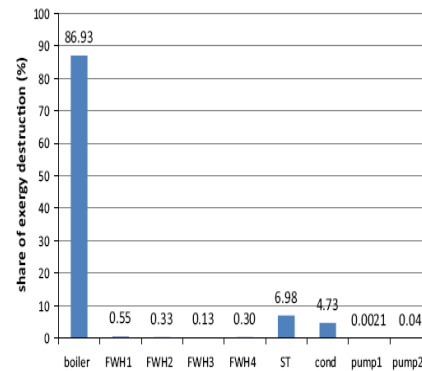
$$\begin{aligned} \psi = & (\dot{m}_2 h_2 - \dot{m}_{11} h_{11} \\ & - \dot{m}_{13} h_{13} \\ & - \dot{m}_{15} h_{15} \\ & - \dot{m}_{17} h_{17} \\ & - \dot{m}_3 h_3 \\ & - \dot{m}_4 (h_5 - h_4) \\ & - \dot{m}_6 (h_7 - h_6)) / (\dot{m}_{fuel} \times LHV) \end{aligned} \quad (12)$$

۴-۱-۱- شرایط مرزی اولیه

شرایط اولیه با توجه به خصوصیات طراحی اجزاء مختلف سیکل تعریف می شوند. باید توجه داشت که بهینه سازی در صورتی قابل قبول است که تمامی شرایط اولیه را ارضاء نماید. یعنی متغیرهای طراحی فقط در محدوده ای قابل انتخاب هستند که نیروگاه بتواند در شرایطی مطلوب و بدون آسیب به امان های آن کار کند. برای بخار ورودی به توربین همواره باید در نظر داشت که همیشه در حالت مافوق گرم بوده و فشار و دمای آن همواره با ارضاء شرط مافوق گرم بودن تغییر کنند. با توجه به محدودیت های طراحی بویلر، فشار خروجی از بویلر باید همواره بین 40.68 bar و 49.72 bar و دمای آن بین 480 و 500 درجه سانتیگراد باشد.

فشارهای زیرکش خروجی از توربین نیز در هر مرحله نسبت به مرحله قبلی کاهش می یابد و در نهایت فشار خروجی از آخرین مرحله زیرکش توربین

برای محاسبه و سپس بهینه سازی انرژی در نیروگاه باید تک تک اجزاء آن مورد بررسی گیرد. مطابق IAPWS IF-97^{۱۶} فشار، دما، آنتالپی و



شکل ۲: مقایسه اتلاف انرژی در اجزاء مختلف نیروگاه

انرژی آن در نرم افزار متلب محاسبه شده و با رعایت بالانس جرم و انرژی^{۱۷}، انرژی در همه اجزاء محاسبه شده است. جدول شماره ۲ مقادیر اندازه گیری شده در هر المان قبل از بهینه سازی را نشان می دهد [۱]. همانطور که در شکل ۲ مشاهده می شود بیشترین اتلاف انرژی^{۱۸} مربوط به بویلر است. پس برای بهینه سازی و یا اصلاح فرایند باید بیشترین تمرکز روی بویلر می شود. با توجه به رابطه ۱۰ بازده انرژی معادل ۳۰/۱۰ درصد بدست می آید.

۴-۱-۲ فرایند بهینه سازی

در اینجا و برای فرایند بهینه سازی نیاز است که روی المان هایی که بیشترین تاثیر را در بازده انرژی دارند تمرکز شود. با توجه به عدم امکان تغییر در جریان جرمی نیروگاه، دبی جرمی هر مرحله ثابت در نظر گرفته می شود. با توجه به مشخصات بویلر و امکان تغییر در دما و فشار آن در بازه ای معین، دما و فشار به عنوان دو متغیر طراحی انتخاب می شوند. همانطوریکه گفته شد، توربین نیروگاه از نوع زیرکش دار می باشد که می توان فشار و دمای خروجی از آن در هر مرحله را کنترل کرد. کلا در چهار مرحله بخار از توربین خارج می شود و برای گرم کردن آب خروجی از کندانسور بکار می رود.

دمای هر چهار مرحله ثابت در نظر گرفته شده و فشار هر چهار مرحله به عنوان انرژی آن گرفته شده است و فشار و دمای آن پایین می آید. ولی دبی جرمی آن ثابت است. آب خروجی از کندانسور توسط پمپ به

¹⁷ Balance Of Mass And Energy

¹⁸ Wasted Exergy

¹⁶ International Association For The Properties Of Water and Steam

باید بیشتر از فشار کاری کندانسور باشد. فشار کاری کندانسور جزء متغیرهای طراحی نبوده و همواره ثابت و برابر 0.077 bar می باشد. باتوجه

رقص مخصوصی به دیگر زنبورهای کندو اطلاع رسانی می کنند. در مرحله بعد تعداد زنبور بیشتری به منابع غذایی بهتر ارسال می شود و به جاهایی

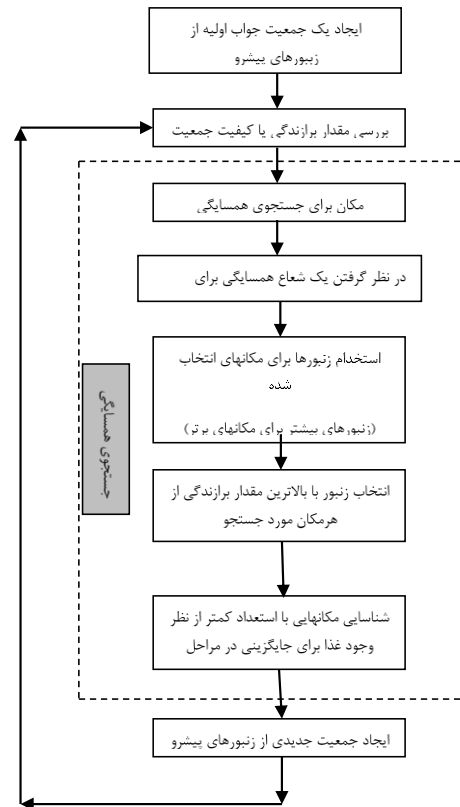
که غذای مناسب و کافی وجود ندارد، زنبوری ارسال نمی شود و زنبورهای پیشرو جدیدی به تصادف به مکان های دیگر ارسال می شود. بدین ترتیب در هر مرحله مکان های بهتر با غنای غذایی بهتری کشف می گردد. زنبور های عسل این کار را آنقدر ادامه می دهند تا بهترین منبع غذایی را کشف نمایند. این روش یک روش غربیزی برای زنبورهای عسل بر مبنای هوش جمعی می باشد. که بسیار کارآمد می باشد. شکل ۳ فلوجارت الگوریتم زنبور عسل را نشان می دهد.

۴-۲- نتایج

با تنظیمات جدول ۳ برنامه بهینه سازی در نرم افزار متلب اجرا شده است.

جدول ۳: پارامترهای تنظیم شده در بهینه سازی نرم افزار متلب

300	تعداد حلقه های تکرار ^{۱۹}
100	تعداد زنبور های پیشرو
$0.5 * n_{\text{ScoutBee}}$	تعداد سایت های منتخب برای جستجو ^{۲۰}
$0.4 * n_{\text{SelectedSite}}$	تعداد سایت های نخبه برای جستجو ^{۲۱}
$0.5 * n_{\text{ScoutBee}}$	تعداد زنبور های اختصاص داده شده به سایت های منتخب
$2 * n_{\text{SelectedSiteBe}}$	تعداد زنبور های اختصاص داده شده به سایت های نخبه
e	شعاع همسایگی (r)
0.000001	



شکل ۳: فلوجارت الگوریتم زنبور عسل

به طراحی توربین، علاوه بر شرط گفته شده، فشار هر مرحله نیز فقط در بازه معینی می تواند تغییر کند. دمای بخار آب در هر مرحله از توربین جزء متغیرهای تصمیم گیری نبوده و همواره ثابت است. پس خواهیم داشت:

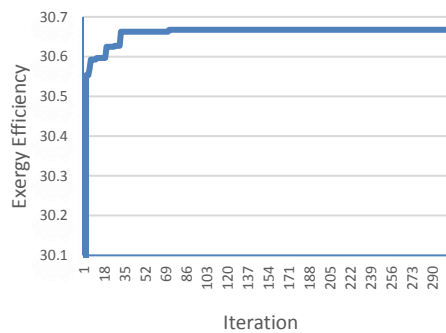
$$480^{\circ}C < T_2 < 500^{\circ}C$$

الگوریتم زنبور عسل یک الگوریتم جستجوی نسبتاً جدید بر مبنای هوش جمعی می باشد. این الگوریتم از رفتار کلونی زنبورهای عسل و رفتار آنها هنگامی که در جستجوی غذا می باشند الهام گرفته شده است. الگوریتم زنبور عسل برای اولین بار در سال ۲۰۰۵ (و نسخه تکمیل شده آن در سال ۲۰۰۶) توسط محققینی از دانشگاه کاردیف انگلستان ارائه شد. در طبیعت زنبورها روش خاصی برای پیدا کردن منابع غذایی دارند. دسته ای از زنبورها با نام زنبور های پیشاهنگ به جستجوی غذا پرداخته و بر حسب منبع غذایی که یافته اند و با توجه به اندازه، فاصله آن تا کندو و مرغوبیت آن به کمک

²¹ Elite Sites

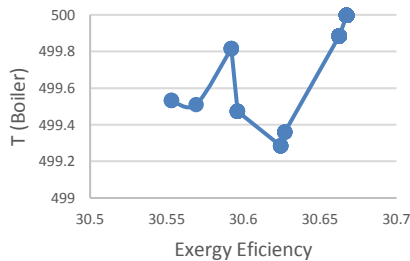
¹⁹ Iteration
²⁰ Selected Sites

شکل های ۷ تا ۹ تاثیر تغییرات متغیرهای تصمیم روی بازده انرژی را نشان می دهند. شکل های ۷ و ۸ نشان می دهند که برای بدست آوردن بیشترین آنتالپی در ورودی توربین، بیشترین دمای قابل تولید توسط بویلر در کمترین فشار مورد نیاز می باشد. بیشترین آنتالپی قابل استحصال در بویلر، با دقت در جداول IAPWS IF-97 و همچنین روابط ۱۰ و ۱۲



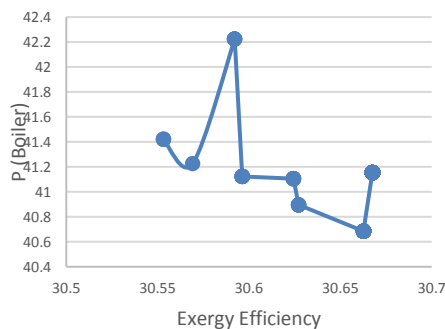
شکل ۴: بازده انرژی حاصل از بهینه سازی

نتایج بدست آمده قابل اثبات است.



شکل ۵: روند بهینه شدن دمای خروجی از بویلر

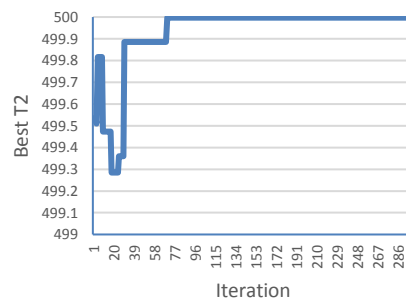
شکل ۶: روند تغییرات فشار خروجی از بویلر روی بازده انرژی



شکل ۷: تاثیر تغییرات فشار خروجی از بویلر بر بازده انرژی

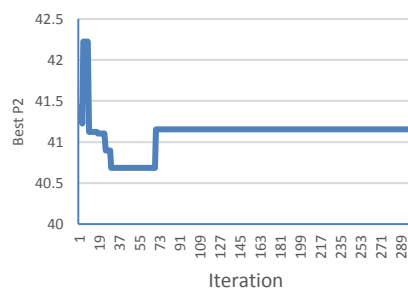
بازده انرژی بر حسب حلقه های تکرار در الگوریتم زنبور عسل در شکل ۴ نشان داده شده است. همانطور که انتظار می رود نرم افزار متلب با انجام محاسبات در هر تکرار به جواب بهینه نزدیک تر شده و در نهایت کاملاً همگرا شده است.

شکل ۵ تغییرات دمای خروجی از بویلر با در طول روند بهینه سازی را نشان می دهد. با توجه به کران بالای دمای بویلر که ۵۰۰ درجه سانتیگراد بود، دمای بدست آمده در نتیجه بهینه سازی، نزدیک به ۵۰۰ درجه بدست آمد که نسبت به دمای کنونی حدود ۱۰ درجه بیشتر است. با افزایش دمای خروجی بویلر، آنتالپی بخار مافوق گرم افزایش یافته و مطابق رابطه ۱۲، کار خالص تولید شده توسط توربین بیشتر شده و در نتیجه آن بازده انرژی



شکل ۸: روند بهینه شدن فشار خروجی از بویلر

شکل شماره ۶ تغییرات فشار خروجی از بویلر در طول فرایند بهینه سازی را نشان می دهد. با توجه به ویژگی های بویلر نصب شده در نیروگاه زرنند، و محدوده عملکرد آن، امکان کم کردن فشار از حد معینی وجود ندارد. با توجه به نتایج بدست آمده، بهترین فشار خروجی از بویلر، ۴۱/۱۵ می باشد که نسبت به حالت کنونی حدود ۴ بار کمتر است. با توجه به رابطه ۱۲ و همچنین جداول IAPWS IF-97 هر چه این فشار کمتر و دمای خروجی از بویلر بیشتر باشد، آنتالپی منتج شده بیشتر و به تبع آن بازده انرژی بیشتر خواهد بود.



از مهمترین پارامترها در مقایسه روش های مختلف بهینه سازی، محاسبه و مقایسه دقت پاسخ و همچنین سرعت رسیدن به پاسخ می باشد که در جدول ۶ مقادیر بدست آمده با روش زنبور عسل با روش های PSO و GA مقایسه شده است. همانطوریکه که مشاهده می شود روش زنبور عسل از روش های دیگر هم دقیق تر و هم سریعتر می باشد.

۳-۴- اعتبارسنجی ۲۲

برای اعتبارسنجی نتایج بهینه سازی با کمک الگوریتم زنبورهای عسل، می توان نتایج حاصله را با مقادیر اندازه گیری شده مقایسه کرد و روند بهبود را دید. همچنین می توان آنها را با نتایج حاصل از بهینه سازی به روش های دیگر مقایسه کرد. در اینجا نتایج حاصل از الگوریتم زنبورهای عسل با مقادیر اندازه گیری شده و نتایج حاصل از بهینه سازی به روش های الگوریتم ژنتیک (GA) و الگوریتم تجمیع ذرات (PSO) مقایسه می شود [۱]. الگوریتم ژنتیک، روش بهینه سازی بر پایه تکامل بیولوژیک است که در سال ۱۹۷۰ توسط John Holland معرفی گردید. این الگوریتم برای حل یک مسئله، مجموعه بسیار بزرگی از راه حل های ممکن را ارائه می دهد. هر یک از این راه حل ها توسط یک تابع تناسب مورد ارزیابی قرار می گیرد و تعدادی از بهترین جواب ها انتخاب می شوند. این جواب ها در مرحله بعدی خود جواب های جدیدی را تولید می کنند. بدین ترتیب فضای جستجو در جهتی تکامل پیدا می کند که به راه حل مطلوب برسد.

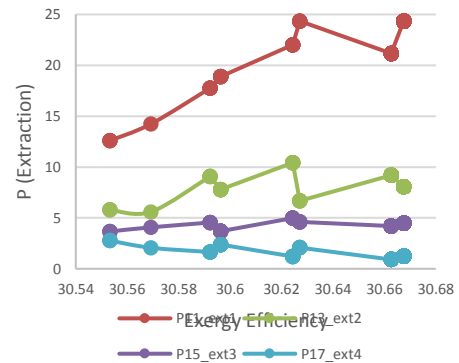
روش تجمیع ذرات یا PSO اولین بار توسط Kennedy و Eberhart در سال ۱۹۹۵ مطرح شد. این الگوریتم یک روش بهینه سازی محاسبه ای تکاملی است که الهام گرفته از طبیعت و رفتار اجتماعی حیواناتی مانند پرندگان و ماهی ها و بر اساس تکرار می باشد. در این روش تعداد مشخصی از ذرات بطور تصادفی، مقادیر اولیه می گیرند. برای هر ذره دو پارامتر وضعیت و سرعت تعریف می شود که به ترتیب با یک بردار مکان و یک بردار سرعت مدل می شوند. این ذرات بصورت تکرار شونده ای در فضای n بعدی مسئله حرکت می کنند تا با محاسبه مقدار بهینگی به عنوان یک ملاک سنجش، گزینه های ممکن موجود را جستجو کند. ذرات با توجه به حافظه قبلی فضای جدیدی را جستجو می کنند تا به جواب بهینه برسند.

جدول ۵ مقادیر بازده اگزرژی محاسبه شده بصورت تجربی و الگوریتم های مختلف را نشان می دهد.

جدول ۵: بازده اگزرژی حاصل از الگوریتم های گوناگون بهینه سازی

قبل از بهینه سازی	GA	PSO	BA
30.1	30.6637	30.6639	30.6675

با توجه به جدیدتر و کامل تر بودن روش الگوریتم زنبورهای عسل، بدست آمدن نتایج فوق پیش بینی می شد.



شکل ۹: تاثیر تغییرات فشارهای زیرکش توربین بر بازده اگزرژی

شکل ۹ تاثیر تغییرات فشارهای زیرکش توربین بر بازده اگزرژی را نشان می دهد. همانطور که در شکل آمده است فشار در هر مرحله کاهش یافته است و شرایط مسئله کاملا ارضاء شده است. فشارهای بهینه شده در مراحل اول تا سوم افزایش یافته اند. فقط فشار مرحله آخر که همان فشار ورودی به کندانسور می باشد نسبت به قبل کاهش یافته است. همانطوری که انتظار می رفت در مرحله ورود به کندانسور، سیال به صورت مایع اشباع می باشد. مقادیر بهینه سازی شده در جدول ۴ آورده شده اند:

جدول ۴: نتایج بهینه سازی

متغیر تصمیم	مقدار بهینه شده
در الگوریتم زنبور عسل	30.6675
بازده اگزرژی	499.9972
دمای خروجی از بویلر (C) (T2)	41.1538
فشار خروجی از بویلر (P2)(bar)	24.34211
فشار خروجی از توربین در زیرکش اول (bar)	8.056071
فشار خروجی از توربین در زیرکش دوم (bar)	4.496188
فشار خروجی از توربین در زیرکش سوم (bar)	1.2296
فشار خروجی از توربین در زیرکش چهارم (bar)	

۵- نتیجه گیری

و ضعف دارند. نشان داده شد که الگوریتم جدیدتر زنبور عسل هم همگرایی جدول ۶: مقایسه دقت و سرعت در روش های مختلف بهینه سازی

الگوریتم بهینه سازی	GA	PSO	BA
جمعیت اولیه	۱۰۰	۱۰۰	۱۰۰
تعداد تکرار تنظیم شده اولیه	۹۰	۹۰	۹۰
زمان رسیدن به جواب (ثانیه)	۵۱۰,۳۴	۱۲۰,۲۲	۴۷,۹۹
تعداد تکرار تا رسیدن به جواب	۵۱	۴۰	۳۲
بازده اگزرژی (دقت)	۳۰,۶۶۳۷	۳۰,۶۶۳۹	۳۰,۶۶۷۵

بیشتری دارد و هم سرعت رسیدن آن به جواب بهینه بیشتر است.

نیروگاه های بخار بطور گسترده در سراسر دنیا برای تولید برق مورد استفاده قرار می گیرند. بسیاری از آنها دارای تکنولوژی قدیمی می باشند و امکان ارتقاء و بهینه سازی برای اجزاء آنها وجود دارد. همه بهینه سازی ها مربوط به خرید و نصب تجهیزات جدید و بروز نیست. خیلی از اوقات با ایجاد تغییراتی در پروسه تولید نیروگاه ها می توان راندمان نهایی آنها را بالا برد. تحلیل بازده انرژی و اگزرژی روش بسیار مناسبی برای تحلیل یک سیکل یا سیستم ترمودینامیکی می باشد. می توان بازده اگزرژی را محاسبه کرد و بهینه

جدول ۲: پارامترهای محاسبه شده در نیروگاه زرنند قبل از انجام بهینه سازی

Stream	P (bar)	T (C)	h (kJ/kg)	s (kJ/kg) K	m° (kg/s)	ex (kJ/kg)
1	45.2	490	3416.816	6.9996	33.194	1390.67
2	43	482.0056	3400.963	7.0009	33.194	1374.438
3	0.0077	40.7871	2367.971	7.5816	25.4339	173.1972
4	0.0077	40.8027	170.8307	0.5829	27.9323	3.9239
5	0.78	40.8028	170.894	0.5831	27.9323	3.9349
6	0.78	92.8064	388.7757	1.225	35.6928	35.8192
7	56.7	93.4037	395.6039	1.2277	35.6928	41.8507
8	52.87	128.8063	544.7169	1.6171	35.6928	78.1345
9	49.04	148.0364	626.5643	1.817	35.6928	102.0624
10	45.21	178.5006	758.3955	2.1202	35.6928	146.0624
11	11.72	314.6094	3078.733	7.0998	1.9448	1023.532
12	11.72	156.1706	659.3151	7.9036	1.9448	109.7232
13	5.285	232.5196	2923.566	7.1744	1.1469	846.7699
14	5.285	131.8363	554.3964	1.6538	3.0918	77.2115
15	3.09	184.8363	2834.156	7.2314	2.0282	740.829
16	3.09	99.7063	418.0167	1.3035	5.12	42.3125
17	0.78	92.8054	2637.278	7.3692	2.6409	504.0494
18	45.21	275.7234	23.546	2.8639	2.4985	295.7191

سازی را روی آن انجام داد. استفاده از هوش جمعی روشی نسبتاً نوین در بهینه سازی سیستم ها می باشد. الگوریتم زنبور عسل نیز یکی از همین روشهاست. در این مطالعه نتیجه گرفته شد که با کمک همین الگوریتم و نرم افزار متلب و با تغییر در برخی از پارامترهای قابل تغییر در نیروگاه بخار، بازده اگزرژی آن را از ۳۰/۱ درصد به ۳۰/۶۶۷۵ درصد ارتقاء داد. یعنی به میزان ۰/۵۶۷۵ درصد بازده اگزرژی را افزایش داد. این مقدار افزایش، اثر بسزایی روی توان خروجی نیروگاه خواهد داشت. یا به عبارت دیگر با مصرف سوخت کمتر، نیروگاه همان خروجی قبلی را خواهد داشت. در این مطالعه همچنین نشان داده شد که چگونه الگوریتم های تکاملی نسبت به هم برتری

مراجع

[1] Mohammadi Khoshkar Vandani A, Bidi M, Ahmadi F, Exergy analysis and evolutionary optimization of boiler blowdown heat recovery in steam power plants, Energy Conversion and Management, 2015;106, 1-9

[2] Tajik Mansouri M et al. Exergetic and economic evaluation of the effect of HRSG configurations on the performance of combined cycle power plants. Energy Convers Manage 2012;58(0):47-58.

[3] Kaviri AG et al. Exergoenvironmental optimization of heat recovery steam generators in combined cycle power plant through energy and exergy analysis. Energy Convers Manage 2013;67:27-33.

[4] Carapellucci R, Giordano L. A comparison between exergetic and economic criteria for optimizing the heat recovery steam generators of gas-steam power plants. Energy 2013;58:458-72.

[5] Naemi S et al. Optimum design of dual pressure heat recovery steam generator using non-dimensional parameters based on thermodynamic and thermoeconomic approaches. Appl Therm Eng 2013;52(2):371-84.

[6] Bade MH, Bandyopadhyay S. Analysis of gas turbine integrated cogeneration plant: process integration approach. Appl Therm Eng 2015;78:118-28.

[7] Urošević D, Gvozdenac D, Grković V. Calculation of the power loss coefficient of steam turbine as a part of the cogeneration plant. Energy 2013;59:642-51.

[8] Can OF, Celik N, Dagtekin I. Energetic-exergetic-economic analyses of a cogeneration thermic power plant in Turkey. Int Commun Heat Mass Transfer 2009;36(10):1044-9.

[9] Tanetsakunvatana V, Kuprianov VI. Experimental study on effects of operating conditions and fuel quality on thermal efficiency and emission performance of a 300-MW boiler unit firing Thai lignite. Fuel Process Technol 2007;88 (2):199-206.

[10] Liu X, Bansal RC. Integrating multi-objective optimization with computational fluid dynamics to optimize boiler combustion process of a coal fired power plant. Appl Energy 2014;130:658-69.

[11] Raval TN, Patel RN. Optimization of auxiliary power consumption of combined cycle power plant. Proc Eng 2013;51:751-7.

[12] Lee. M .J. Tien. D. L and Shao. C T. 1993."Thermophysical Capability of Ozone-Safe

نمادها

\dot{E}_x	نرخ انرژی (kW)
\dot{E}_x^D	انرژی تلف شده
\dot{E}_x^Q	انرژی منتج شده از گرما
\dot{E}_x^W	انرژی منتج شده از کار
ex	انرژی مخصوص (kJ/kg)
h	انتالپی (kJ/kg)
LHV	کمترین ارزش حرارتی سوخت (kJ/kg)
\dot{m}	دبی جرمی (kg/s)
P	فشار (bar)
\dot{Q}	گرمای منتقل شده (kW)
r	شعاع همسایگی در الگوریتم زنبور عسل
R	ثابت گازها (kJ/kg K)
s	انتروپی (kJ/kg K)
T	دما (C)
\dot{W}	نرخ کار- توان (kW)
y	کسر مولی
GA	الگوریتم ژنتیک
BA	الگوریتم زنبورهای عسل
PSO	الگوریتم تجمع ذرات

علائم یونانی

ψ	بازده انرژی
ξ	نرخ انرژی شیمیایی
η	بازده انرژی

زیر علامت ها

0	رجوع می دهد به شرایط محیطی
ch	شیمیایی
cond	کندانسور
c. v.	حجم کنترل
f	مایع اشباع
FWH	بازیاب (هیتر) آب تغذیه
g	بخار اشباع
in	بخار ورودی
ke	جنبشی
ph	فیزیکی
po	پتانسیل
out	بخار خروجی
ST	توربین بخار

Working Fluids for an Organic Rankine Cycle System."J. Heat Recovery Syst.13,pp.409-418.

[13] Habib,M.A.1994,;First-and Second-Law analysis of Steam-Turbine Cogeneration Systems."ASME J .Eng.Gas Turbines Power.116, pp. 15-19.

[14] Tomlinson. L O.. Chase. D L..Davidson. T. L.. and Smith .R W.. 1993."GE Combined Cycle Product Line and Performance. " GE Power GenerationGER-3574D.

[15] Friedrich Biegler-König, 2009, Artificial Bee Colony Algorithm For Power Plant Optimization, Department of Applied Mathematics, University of Applied Sciences, D-33615 Bielefeld.

[16] Ram Kumar Denjare¹, Amit Goswami, International Journal of Advanced Technology in Engineering and Science , Volume No.02, Issue No. 06, June 2014

[17] A . Bejan "Advanced Engineering Thermodynamics" Wiley, New work , 1988.

[18] D. E. Winter bone "Advanced Thermodynamics For Engineers" 1997.

[19] Thermodynamics, an Engineering Approach, Y. Cengel, 5th Edition, 2006, Wiley, USA

[۲۰] صادقی، احسان و همکاران، ۱۳۸۵، تحلیل سیکل میکروتوربین با بازیافت حرارت به روش انرژی و انرژی، کنفرانس بین المللی برق، دوره بیستم، شماره ۶۵۴، صفحه ۵-۱۱

[۲۱] بافکرپور، احسان و همکاران، ۱۳۸۷، آنالیز اکسرژی اجزای سیکل نیروگاه بخار، نشریه انرژی ایران، دوره یازدهم، شماره ۲۸، صفحه ۴۷-۵۵

[۲۲] نصر آزادانی، حسین، اهودی دانش، حسین، تحلیل انرژی و انرژی نیروگاه بخار پالایشگاه اصفهان، نشریه علمی - پژوهشی مدیریت انرژی، دوره دوم، شماره ۲، صفحه ۲۷ تا ۳۹

[۲۳] محمدی نائینی، محمدرضا، ۱۳۸۳، ترکیب سیکل ها به منظور بدست آوردن حالت بهینه تبدیل انرژی، دوره نهم، شماره ۲۰، صفحه ۵۴-۷۴